

マサ土の圧縮性とセン断強さについて

大阪工業大学 正会員 福田 譲

○ 前田設計(株) 正会員 藤井寺豊紀

1. まえがき

マサ土の工学的特性については過去多數報告されていながら、圧縮性について研究されたものは少なく、また応力履歴とセン断強さを関連させて研究も少ない。そこで本研究では圧縮性について発明し、さらには応力履歴とセン断強さを関連させて研究した。ところで砂質土の沈下量を求める式として過去多數発表されていながら、それらの多くは運積土を対象としたものと思われる。マサ土は風化残積土であるため、運積土とは工性的にかなりの差異があり、圧縮特性も異なる。研究の結果、ある含水比の正規圧縮状態における圧縮指數およびセン断強さ常数(c_u)は一定となる。また過圧縮状態の土のセン断強さはその応力履歴に大きく依存することが判明した。

2. 試料

(a)試料採取地；奈良県生駒山 (b)試料鉱物；石英・長石・雲母・カオリナイト (c)試料調整；自然乾燥後、約20mの高さから30回落下調整し20mm以上の粒子を除去し実験試料とした。(d)基本的性質；図-1, 表-1に示す。

3. 試験装置および方法

(a)圧縮試験機；径100cm 高さ40cmのモールドを使用し、静的拘束圧縮試験方法を採用した。また初期の誤差を除去するため、あらかじめ0.0262kg/cm²の先行荷重を加え、除去後実験を開始した。

なおモールド壁の抵抗力を別途の実験で求め解析にはその修正荷重を用いた。(b)セン断試験機；径100cm、高さ40cmの一面向セン断試験機を用いた。試験は排水(排気)の条件で行なった。

4. 圧縮性とセン断強さ

(1)圧縮性；不飽和土および飽和土の e - $\log p$ 曲線と図-2に、繰返し圧縮の e - $\log p$ 曲線と図-3に示す。これによると、不飽和土の e - $\log p$ 曲線は $0.05\log(p/cm^2)$ 以下の先行荷重影響部分を除いて、ほぼ直線性を呈す。水中で作成した飽和土については、供試体作成時によく縮った状態となるので実験初期から間ゲキ比が非常に小さく、荷重とともに土の体積変化も少なくて、 e - $\log p$ 曲線は上方に凸となる。この飽和土の e - $\log p$ 曲線の荷重と圧縮指數(C_c)と表-2に示す。また繰返し圧縮試験においては、

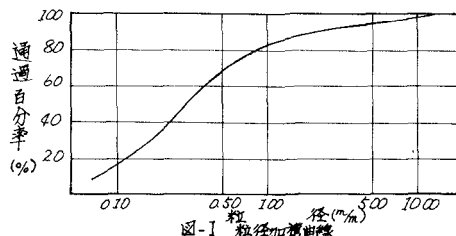
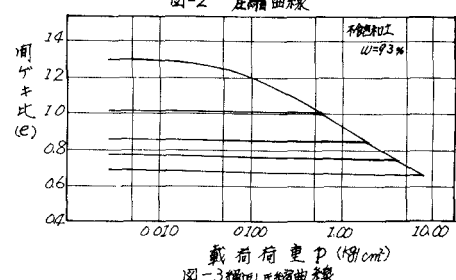
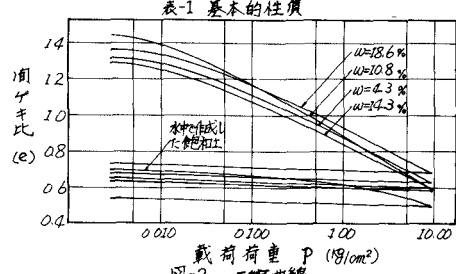


表-1 基本的性質



除荷による体積膨張が極めて小さい。不飽和土に関する含水比(w)と圧縮指数(C_s)の関係を図-4に示す。これによると C_s は w が異なってもほとんど差異は認められず約 0.2 となる。これは花崗岩風化工が粒子表面のなめらかな石英・長石を一次鉱物とし、また二次鉱物として含まれる粘土鉱物も少なく、活性の低いカオリナイトであることから試料全体として粘性に乏しいためと思われる。ついで荷重とパラメーターとして、含水比(w)と乾燥密度(γ_d)の関係を図-5に示す。これによると不飽和土の含水比(w)が 5~20% の範囲では含水比に關係なく同一荷重でほぼ一定となる。これは前述のように花崗岩風化工の粘性が極めて小さいことによるものと思われる。

(2) セン断強さについて

(a) 正規圧縮状態；不飽和土のある含水比において、強度係数(ϕ_d)は一定となる。不飽和土の $w-\phi_d$ 、注水後の飽和土の $w-\phi_{d,sep}$ をそれぞれ図-6、図-7に、また水中で作成した飽和土のセン断強さを図-8に示す。これによると不飽和土の強度係数(ϕ_d)は含水比(w)が 5~20% で約 29.0° の値となり、含水比の増加とともに若干小さくなる傾向を示した。また、注水後の飽和土の $\phi_{d,sep}$ は初期の含水比に關係なく一定となり、約 28.0° の値を示した。水中で作成した飽和土の $\phi_{d,sep}$ は上述の二者よりも大きく、約 35.0° の値を示した。これに供試体作成時に、粒子が完全に水で被覆し粒子相互の吸着力が極めて小さいため土粒子が動きやすく、安定な位置にあらつくためと思われる。

(b) 過圧縮状態；過圧縮土のセン断試験結果を図-9に示す。これによると、過圧縮を受けた土のセン断強さは、その応力履歴に大きく依存することがわかり、締固めによる重要さが強調される。

5 あとがき

以上、マサエの圧縮性、さらには応力履歴とセン断強さと関連させて述べたが、今後さらに過圧縮状態のセン断強さについて究明し、現場への利用法について考える予定である。なお、本研究について京大松屋新一郎教授を委員長とするマサエ委員会の方々に種々御示唆いただき感謝の意を表します。

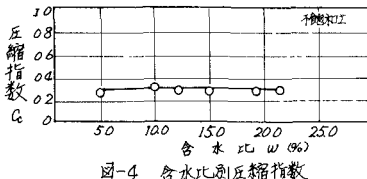


図-4 含水比別圧縮指数

荷重範囲(%)	C_s
0 ~ 0.2	0
0.2 ~ 2.0	0.055
2.0 ~ 5.0	0.068
5.0 ~ 10.0	0.170

表-2 水中の作成した飽和土の荷重と C_s

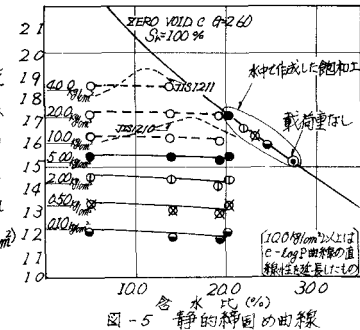


図-5 静的締固め曲線

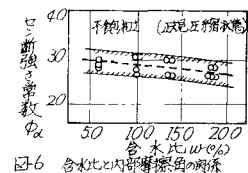


図-6 含水比と内部摩擦角の関係

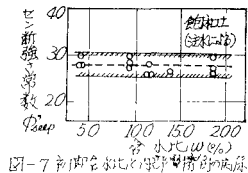


図-7 荷重なしで作成した飽和土の強度係数

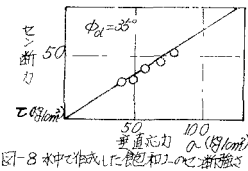


図-8 水中で作成した飽和土のせん断強度

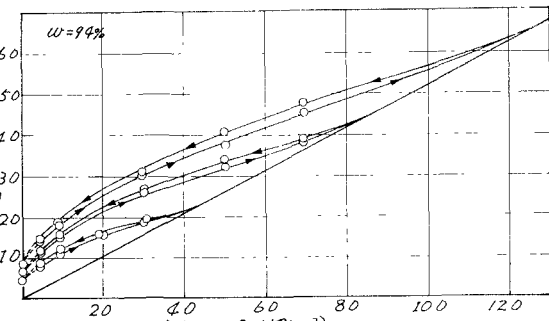


図-10 セン断試験結果